

# Table de caractères de $S_4$

## Leçon 107

### Proposition

On rappelle que les cinq classes de conjugaison du groupe symétrique  $S_4$  sont:

- ★ Le neutre, noté  $C_{Id}$ , de cardinal 1.
- ★ Les transpositions, notée  $C_{(.)}$ , de cardinal 6.
- ★ Les 3-cycles, notée  $C_{(...)}$ , de cardinal 8.
- ★ Les 4-cycles, notée  $C_{(....)}$ , de cardinal 6.
- ★ Les bitranspositions, notée  $C_{(..)(..)}$ , de cardinal 3.

### Théorème (Table de caractères de $S_4$ )

La table de caractères de  $S_4$  est donnée par:

$\chi$	$C_{Id}$	$C_{(.)}$	$C_{(...)}$	$C_{(....)}$	$C_{(..)(..)}$
$\chi_1$	1	1	1	1	1
$\chi_\varepsilon$	1	-1	1	-1	1
$\chi_{\Delta_4}$	3	1	0	-1	-1
$\chi_{C_8}^+$	3	-1	0	1	-1
$\chi_5$	2	0	-1	0	2

Nous allons donner une preuve "géométrique" de ce théorème, en ne se contentant pas de remplir les cases, mais en illustrant chaque représentation irréductible.

**Démonstration.** - *La première représentation est la représentation triviale:*

$$\begin{aligned} \rho_1 : S_4 &\longrightarrow \mathbb{C}^* \\ \sigma &\longmapsto 1 \end{aligned}$$

Donc, le caractère associé, noté  $\chi_1$ , est donné, pour tout  $\sigma \in S_4$ , par  $\chi_1(\sigma) = 1$ . C'est une représentation de dimension 1.

- *La seconde représentation est la représentation signature:*

$$\begin{aligned} \rho_\varepsilon : S_4 &\longrightarrow \mathbb{C}^* \\ \sigma &\longmapsto \varepsilon(\sigma) \end{aligned}$$

Donc, le caractère associé, noté  $\chi_\varepsilon$ , est donné, pour tout  $\sigma \in S_4$ , par  $\chi_\varepsilon(\sigma) = \varepsilon(\sigma)$ . On peut facilement compléter la seconde ligne du tableau puisque le neutre, les 3-cycles et les bitranspositions sont pairs, les transpositions et 4-cycles sont impairs. C'est une représentation de dimension 1.

- Passons à présent aux choses sérieuses. On sait que  $S_4 = \text{Iso}(\Delta_4)$ , c'est le groupe d'isométries du tétraèdre (régulier) en dimension 3, donnant ainsi cette représentation:

$$\begin{aligned} \rho_{\Delta_4} : S_4 &\longrightarrow GL(\mathbb{C}^3) \\ \sigma &\longmapsto Q_\sigma \end{aligned}$$

où  $Q_\sigma$  est une isométrie de  $\Delta_4$  correspondant à  $\sigma$ . Pour déterminer  $\chi_{\Delta_4}$ , il suffit de calculer la trace de  $Q_\sigma$  en fonction de la classe de conjugaison dans laquelle se trouve  $\sigma$  (les caractères sont constants sur les classes de conjugaison). Le tétraèdre de référence  $\Delta_4$  est constitué des sommets  $A_1, A_2, A_3$  et  $A_4$ , et appliquer  $Q_\sigma$  à  $\Delta_4$  revient à obtenir les sommets  $A_{\sigma(1)}, A_{\sigma(2)}, A_{\sigma(3)}$  et  $A_{\sigma(4)}$ .

★  $\rho_{\Delta_4}(\text{Id}) = I_3$ , donc  $\chi_{\Delta_4}(\text{Id}) = 3$ .

★ Appliquer la permutation (12) revient à faire une réflexion par rapport au plan orthogonal à la droite  $(A_1A_2)$ , donc, dans une certaine base:

$$\rho_{\Delta_4}((12)) = \begin{bmatrix} 1 & 0 & 0 \\ 0 & 1 & 0 \\ 0 & 0 & -1 \end{bmatrix}$$

et alors,  $\chi_{\Delta_4}((12)) = 1$ .

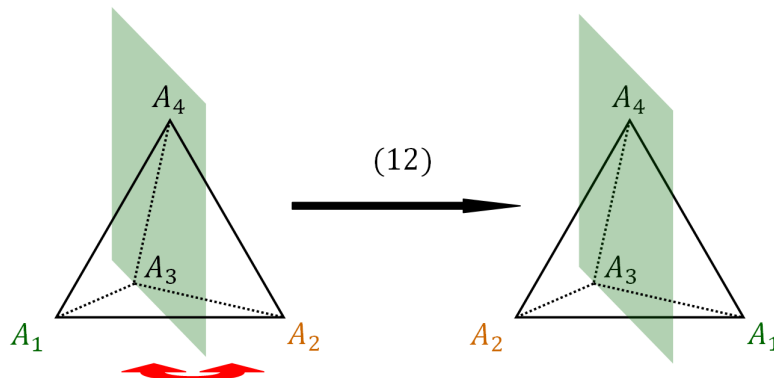


Figure 1: Transposition (12) agissant sur  $\Delta_4$  via une réflexion.

★ Appliquer la permutation (123) revient à faire une rotation d'angle  $\frac{2\pi}{3}$  dans le plan engendré par les points  $A_1, A_2$  et  $A_3$ , donc, dans une certaine base:

$$\rho_{\Delta_4}((123)) = \begin{bmatrix} 1 & 0 & 0 \\ 0 & \cos\left(\frac{2\pi}{3}\right) & -\sin\left(\frac{2\pi}{3}\right) \\ 0 & \sin\left(\frac{2\pi}{3}\right) & \cos\left(\frac{2\pi}{3}\right) \end{bmatrix}$$

et ainsi,  $\chi_{\Delta_4}((123)) = 1 + \underbrace{2\cos\left(\frac{2\pi}{3}\right)}_{=-\frac{1}{2}} = 0$ .

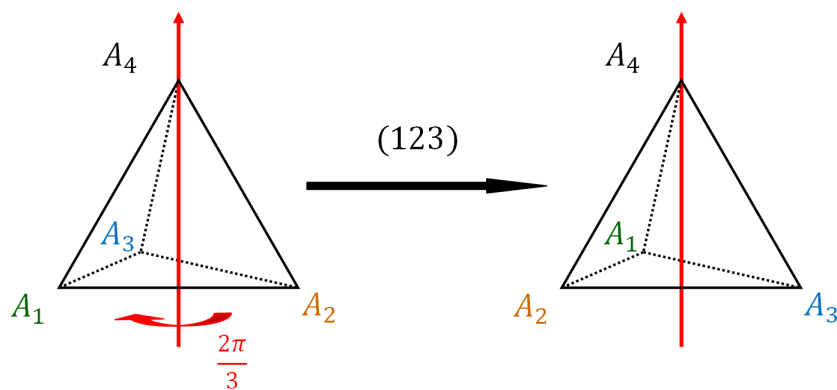


Figure 2: 3-cycle (123) agissant sur  $\Delta_4$  via une rotation d'angle  $\frac{2\pi}{3}$ .

- ★ Appliquer le 4-cycle (1234) revient à appliquer une réflexion selon un plan parallèle à  $(A_1A_3)$  et  $(A_2A_4)$ , puis une rotation d'un quart de tour ( $\frac{\pi}{2}$ ) le long de l'axe passant par les milieux des segments  $[A_1A_3]$  et  $[A_2A_4]$ . Donc, dans une certaine base:

$$\rho_{\Delta_4}((1234)) = \begin{bmatrix} 0 & 1 & 0 \\ -1 & 0 & 0 \\ 0 & 0 & -1 \end{bmatrix}$$

d'où  $\chi_{\Delta_4}((1234)) = -1$ .

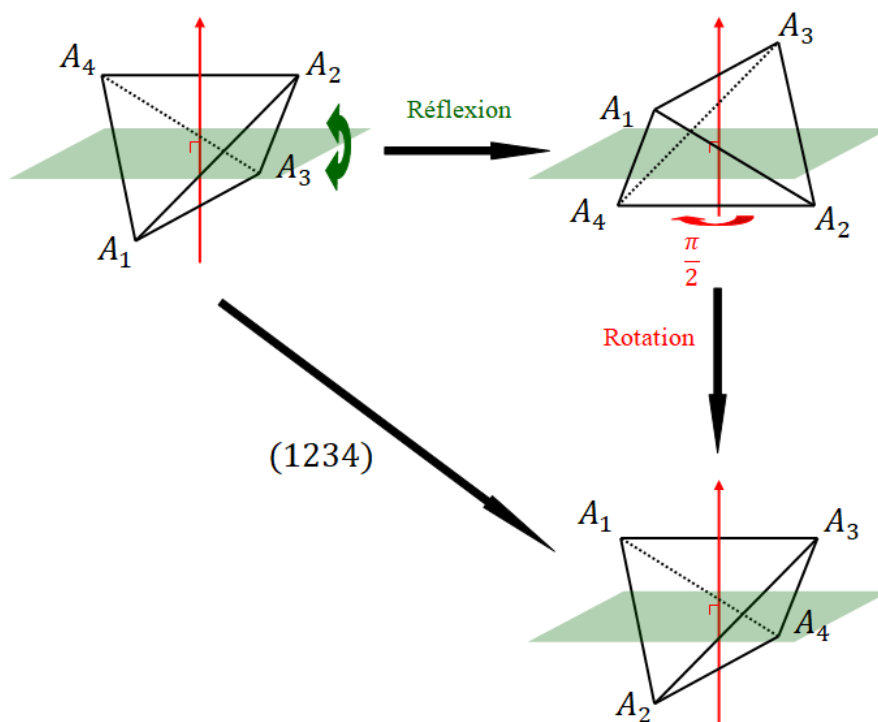


Figure 3: 4-cycle (1234) agissant sur  $\Delta_4$  via une réflexion suivie d'une rotation d'angle  $\frac{\pi}{2}$ .

- ★ Appliquer la bitransposition (12)(34) revient à faire une rotation d'angle  $\pi$  (un demi-tour), dans le plan parallèle à  $(A_1A_2)$  et  $(A_3A_4)$  afin d'échanger les points  $A_1$  et  $A_2$ ,  $A_3$  et  $A_4$ . Donc, dans une certaine base:

$$\rho_{\Delta_4}((12)(34)) = \begin{bmatrix} -1 & 0 & 0 \\ 0 & -1 & 0 \\ 0 & 0 & 1 \end{bmatrix}$$

donc  $\chi_{\Delta_4}((12)(34)) = -1$ .

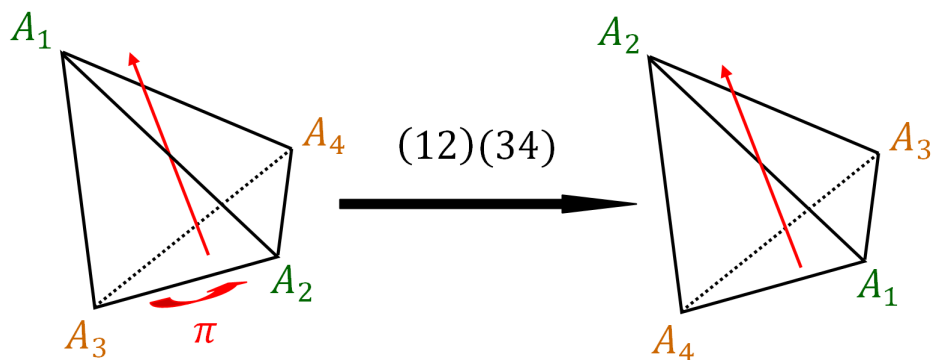


Figure 4: bitransposition  $(12)(34)$  agissant sur  $\Delta_4$  via une rotation d'angle  $\pi$ .

- On sait que  $S_4 = Iso^+(C_8)$ , c'est le groupe d'isométries positives du cube en dimension 3, donnant ainsi cette représentation:

$$\begin{aligned} \rho_{C_8}^+ : S_4 &\longrightarrow GL(\mathbb{C}^3) \\ \sigma &\longmapsto R_\sigma \end{aligned}$$

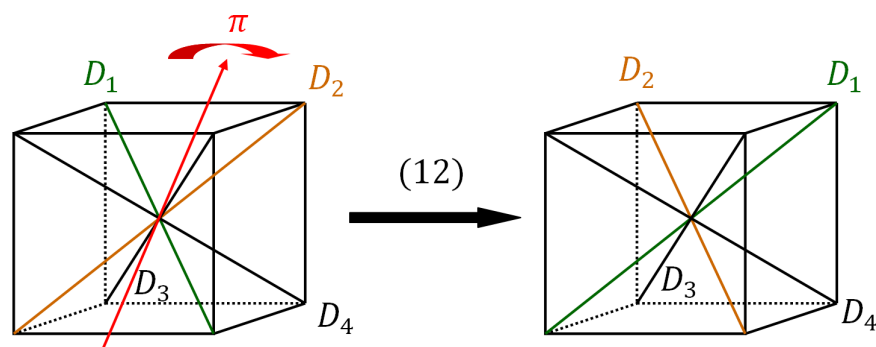
Le fait que  $S_4$  soit le groupe d'isométries positives de  $C_8$  revient à permuer les grandes diagonales du cube, notées  $D_1, D_2, D_3$  et  $D_4$ . La encore, la stratégie est de déterminer la trace de  $R_\sigma$  en fonction de la classe de conjugaison dans laquelle se trouve  $\sigma$ . Ainsi, appliquer  $\sigma$ , ou  $R_\sigma$  comme isométrie positive à  $C_8$  revient à passer de  $D_1, D_2, D_3, D_4$  à  $D_{\sigma(1)}, D_{\sigma(2)}, D_{\sigma(3)}, D_{\sigma(4)}$ .

★  $\rho_{C_8}^+(Id) = I_3$  donc  $\chi_{C_8}^+(Id) = 3$ .

★ Appliquer  $(12)$  à  $C_8$  revient à faire une rotation d'angle  $\pi$  pour échanger  $D_1$  et  $D_2$ , donc, dans une certaine base:

$$\rho_{C_8}^+((12)) = \begin{bmatrix} -1 & 0 & 0 \\ 0 & -1 & 0 \\ 0 & 0 & 1 \end{bmatrix}$$

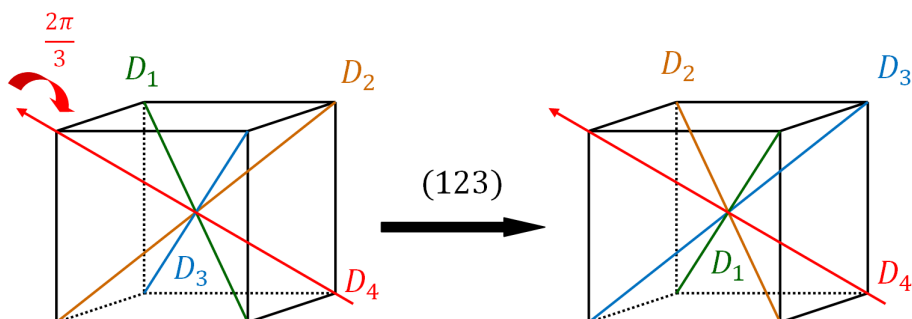
donc  $\chi_{C_8}^+((12)) = -1$

Figure 5: transposition (12) agissant sur  $C_8$  via une rotation d'angle  $\pi$ .

★ Appliquer (123) à  $C_8$  revient à effectuer une rotation d'angle  $\frac{2\pi}{3}$  selon l'axe situé sur la grande diagonale  $D_4$ , donc, dans une certaine base:

$$\rho_{C_8}^+((123)) = \begin{bmatrix} 1 & 0 & 0 \\ 0 & \cos\left(\frac{2\pi}{3}\right) & -\sin\left(\frac{2\pi}{3}\right) \\ 0 & \sin\left(\frac{2\pi}{3}\right) & \cos\left(\frac{2\pi}{3}\right) \end{bmatrix}$$

donc  $\chi_{C_8}^+((123)) = 0$ .

Figure 6: 3-cycle (123) agissant sur  $C_8$  via une rotation d'angle  $\frac{2\pi}{3}$ .

★ Appliquer (1234) à  $C_8$  revient à faire une rotation d'un quart de tour (d'angle  $\frac{\pi}{2}$ ) selon l'axe orthogonal à l'une des faces (cf. illustration). Donc, dans une certaine base, on a:

$$\rho_{C_8}^+((1234)) = \begin{bmatrix} 0 & -1 & 0 \\ 1 & 0 & 0 \\ 0 & 0 & 1 \end{bmatrix}$$

d'où  $\chi_{C_8}^+((1234)) = 1$ .

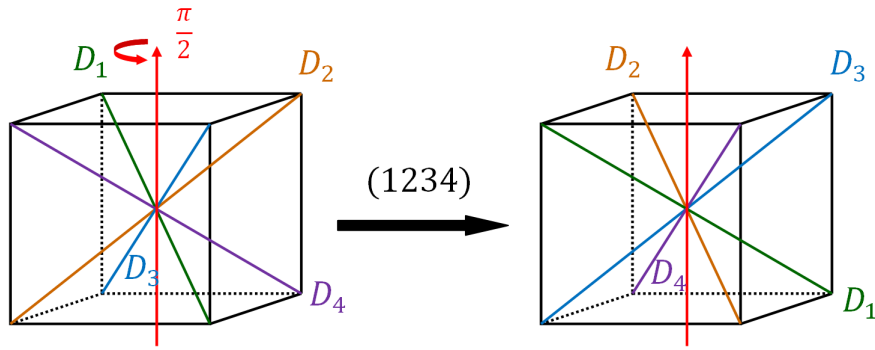


Figure 7: 4-cycle (1234) agissant sur  $C_8$  via une rotation d'angle  $\frac{\pi}{2}$ .

★ Appliquer (12)(34) à  $C_8$  revient à faire une rotation d'un demi-tour (angle de  $\pi$ ) selon un axe orthogonal à une face (cf. illustration). Ainsi, dans une certaine base, on a :

$$\rho_{C_8}^+((12)(34)) = \begin{bmatrix} -1 & 0 & 0 \\ 0 & -1 & 0 \\ 0 & 0 & 1 \end{bmatrix}$$

donc  $\chi_{C_8}^+((12)(34)) = -1$ .

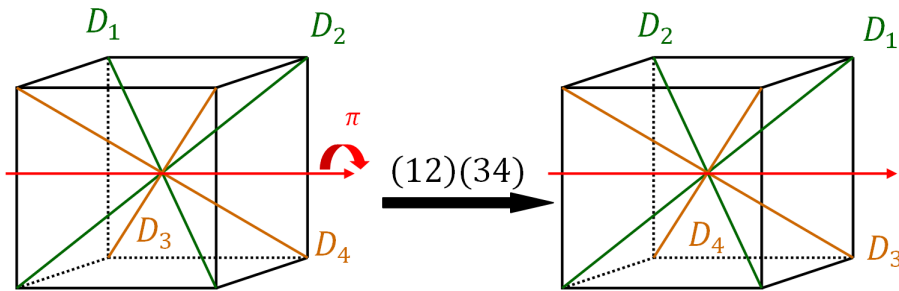


Figure 8: bitransposition (12)(34) agissant sur  $C_8$  via une rotation d'angle  $\pi$ .

- Il reste à étudier la cinquième représentation, notée  $\rho_5$ . On peut calculer sa dimension,  $\chi_5(Id)$ , en notant que :

$$\chi_1(Id)^2 + \chi_\varepsilon(Id)^2 + \chi_{\Delta_4}(Id)^2 + \chi_{C_8}^+(Id)^2 + \chi_5(Id)^2 = |S_4| = 24$$

soit:  $20 = 1^2 + 1^2 + 3^2 + 3^2 + \chi_5(Id)^2 = 24$

donc il vient  $\chi_5(Id) = 2$ , la représentation  $\rho_5$  est donc de dimension 2.

En réalité,  $\rho_5$  est liée à l'action de  $S_4$  sur  $C_{(\cdot)(\cdot)}$  via, pour tous  $\sigma \in S_4$ ,  $(ij)(kl) \in C_{(\cdot)(\cdot)}$  :

$$\sigma \cdot (ij)(kl) = (\sigma(i)\sigma(j))(\sigma(k)\sigma(l))$$

On considère ainsi un triangle équilatéral, noté  $\Delta_3$  de sommets  $A_{1,2}^{3,4}$ ,  $A_{1,3}^{2,4}$  et  $A_{1,4}^{2,3}$ , et on impose également que, pour tout  $(ij)(kl) \in C_{(\cdot)(\cdot)}$  :

$$A_{i,j}^{k,l} = A_{j,i}^{k,l} = A_{i,j}^{l,k} = A_{j,i}^{l,k} = A_{k,l}^{i,j} = A_{k,l}^{j,i} = A_{l,k}^{i,j} = A_{l,k}^{j,i}$$

on aura ainsi toujours trois sommets.

★ On a  $\rho_5(\text{Id}) = I_2$  donc  $\chi_5(\text{Id}) = 2$ .

★ Appliquer (12) à  $\Delta_3$  revient à échanger les sommets  $A_{1,3}^{2,4}$  et  $A_{1,4}^{2,3}$ , ce qui correspond à une réflexion, donc, dans une certaine base:

$$\rho_5((12)) = \begin{bmatrix} 1 & 0 \\ 0 & -1 \end{bmatrix}$$

donc  $\chi_5((12)) = 0$ .

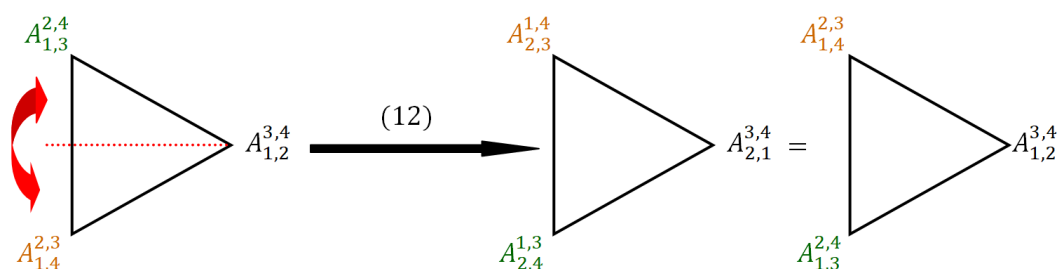


Figure 9: transposition (12) agissant sur  $\Delta_3$  via une réflexion.

★ Appliquer (123) à  $\Delta_3$  revient à faire une rotation d'angle  $\frac{2\pi}{3}$  (cf. illustration), donc, dans une certaine base:

$$\rho_5((123)) = \begin{bmatrix} \cos\left(\frac{2\pi}{3}\right) & -\sin\left(\frac{2\pi}{3}\right) \\ \sin\left(\frac{2\pi}{3}\right) & \cos\left(\frac{2\pi}{3}\right) \end{bmatrix}$$

d'où  $\chi_5((123)) = 2 \cos\left(\frac{2\pi}{3}\right) = -1$ .

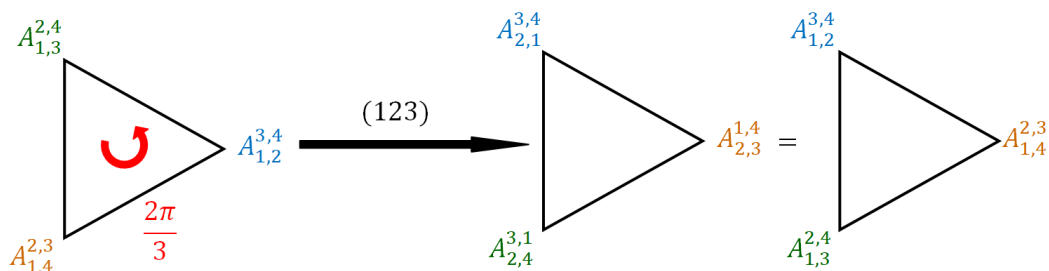
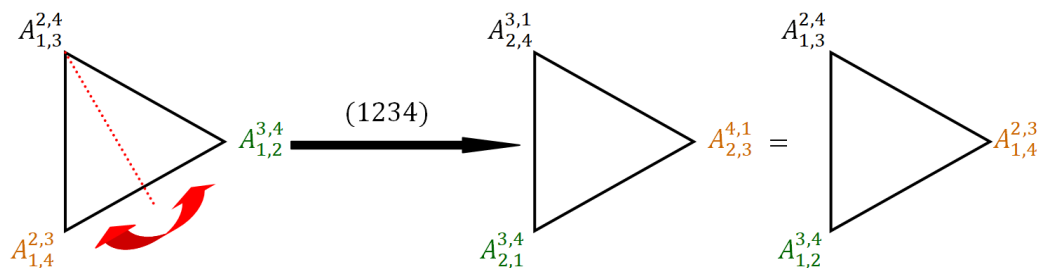


Figure 10: 3-cycle (123) agissant sur  $\Delta_3$  via une rotation d'angle  $\frac{2\pi}{3}$ .

★ Appliquer (1234) à  $\Delta_3$  revient à permuter les sommets  $A_{1,2}^{3,4}$  et  $A_{1,4}^{2,3}$ , ce qui est une réflexion, donc, dans une certaine base:

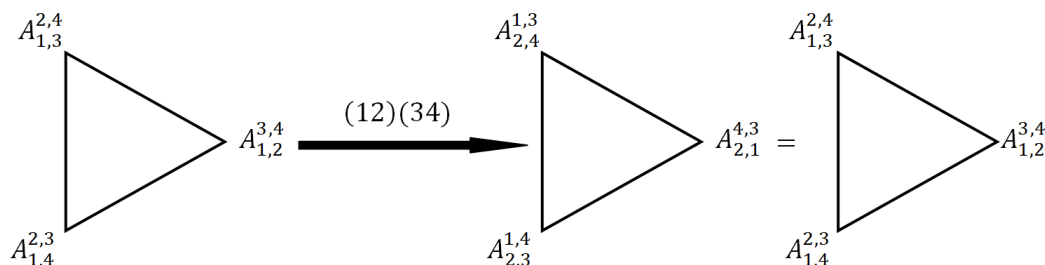
$$\rho_5((1234)) = \begin{bmatrix} 1 & 0 \\ 0 & -1 \end{bmatrix}$$

Figure 11: 4-cycle (1234) agissant sur  $\Delta_3$  via une réflexion.

donc  $\chi_5((1234)) = 0$ .

\*

★ Enfin, appliquer la bitransposition (12)(34) à  $\Delta_3$  revient à ne pas déplacer les sommets, donc  $\rho_5((12)(34)) = I_2$ , soit  $\chi_5((12)(34)) = 2$ .

Figure 12: bitransposition (12)(34) agissant sur  $\Delta_3$  via l'identité.

Pour vérifier que les représentations sont correctes, on peut vérifier qu'elles sont bien irréductibles, i.e. vérifient, pour leurs caractères irréductibles  $\chi$  associés :

$$\frac{1}{|S_4|} \sum_{\sigma \in S_4} |\chi(\sigma)|^2 = \frac{1}{24} \sum_{\sigma \in S_4} |\chi(\sigma)|^2 = 1$$

De plus, les caractères irréductibles forment une base orthonormée de l'espace  $L^2(S_4)$  (on les note  $\text{Irr}(S_4)$ ) i.e., pour tous caractères irréductibles  $\chi, \psi$  de  $S_4$ , on a :

$$\frac{1}{24} \sum_{\sigma \in S_4} \chi(\sigma) \overline{\psi(\sigma)} = 0$$

cela se vérifie en regardant l'orthogonalité entre les lignes (attention à tenir compte du cardinal de la classe de conjugaison !!!).

De plus, on peut regarder l'orthogonalité entre les colonnes, i.e, pour tous  $\sigma, \tau \in S_4$  se trouvant dans des classes de conjugaison distinctes, on a :

$$\sum_{\chi \in \text{Irr}(S_4)} \chi(\sigma) \overline{\chi(\tau)} = 0$$

c'est généralement cette dernière stratégie qui est employée afin d'étudier  $\chi_5$  et de compléter la cinquième ligne.



**Remarques.** 1. *On fait un abus de notation en disant que dans une certaine base, une application linéaire  $u$  est égale à une matrice  $A$ . En toute rigueur, on devrait écrire: "Il existe une base  $\mathcal{B}$  telle que  $\text{Mat}_{\mathcal{B}}(u) = A$ "*

2. *J'ai personnellement tapé ce développement après l'annonce de la suppression des oraux, j'ai ainsi choisi de donner une preuve plus "géométrique" de cette table de caractères, mais trouver la cinquième représentation irréductible peut se faire à l'aide du dernier point, ce qui exploite bien les propriétés des représentations de groupe.*